

УДК 621.385.6

МНОГОПУЧКОВЫЕ ЛАМПЫ БЕГУЩЕЙ ВОЛНЫ О-ТИПА СУБМИЛЛИМЕТРОВОГО ДИАПАЗОНА ДЛИН ВОЛН

А.В. АКСЕНЧИК

Белорусский государственный университет информатики и радиоэлектроники
П.Бровка 6, Минск-220013, Беларусь

Поступила в редакцию 15 апреля 2013

Сформулирована математическая модель многопучковой лампы бегущей волны (ЛБВ) с ленточными электронными пучками на волнообразно изогнутом прямоугольном волноводе с использованием волн H_{m0} . Отмечены особенности конструкций и взаимодействия электронных пучков с волнами H_{m0} . Приведены результаты расчетов многопучковых ЛБВ. Показано, что четырехпучковая ЛБВ имеет расчетную выходную мощность 11 Вт, коэффициент усиления 31 дБ на частоте 559 ГГц.

Ключевые слова: лампа бегущей волны, субмиллиметровый, ленточный пучок, оптимизация, волновод.

Введение

В работе [1] сформулирована математическая модель многолучевой лампы бегущей волны (ЛБВ) на волнообразно изогнутом прямоугольном волноводе с электронными пучками цилиндрической формы. Для эффективного взаимодействия электронных пучков с электромагнитным (ЭМ) полем волновода предложено использовать для взаимодействия с электронными пучками волну H_{m0} , где каждый луч находится в соответствующем максимуме электрического поля волны H_{m0} . Приведенные в [1] расчеты показали эффективность такой конструкции. Однако в субмиллиметровом, терагерцовом диапазонах для эффективной работы приборов требуются электронные пучки малого диаметра, что не всегда позволяет обеспечить требуемую мощность выходного сигнала. В данной работе предлагается для увеличения эффективности приборов использовать плоские электронные пучки прямоугольной формы (ленточные пучки), которые имеют заведомо большую плотность тока, что приведет к увеличению выходной мощности приборов.

В работе сформулирована математическая модель многопучковой ЛБВ (плоские электронные пучки прямоугольной формы - ленточные пучки) с волнами H_{m0} с учетом потерь и диэлектрического заполнения волновода, проведен расчет оптимальных вариантов ЛБВ. Применение многопучковой конструкции позволяет значительно увеличить выходную мощность и КПД приборов.

Математическая модель многопучковых нерегулярных ЛБВ и ЛОВ на волнообразно изогнутом прямоугольном волноводе с волнами H_{m0}

На рис. 1 представлен горизонтальный срез пакетированного ВЧ-блока многопучковой ЛБВ на волнообразно изогнутом волноводе. Здесь 1 - изогнутый волновод на волне H_{m0} ; 2, 3, 4, 5 – спаянные вместе пластины, составляющие анодный блок; 6 – пролетные каналы плоских электронных пучков прямоугольной формы (ленточные пучки), проходящие через области

максимумов поперечной электрической напряженности E_y волны H_{m0} ; 7 – области пучностей электрического поля волны H_{m0} . На пластинах, составляющих «пакет» ВЧ-блока, разрезы под волновод и профили каналов для приборов миллиметрового и субмиллиметрового диапазонов производятся на основе технологий фотолитографии или лазерной обработки, как и в приборах однолучковой конструкции [1, 2].

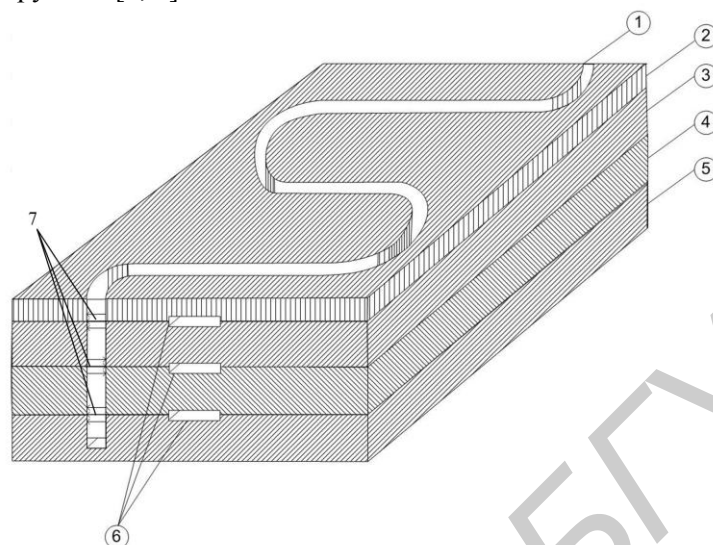


Рис. 1. Конструкция прибора

Рассматриваемая ЛБВ моделируется цепочкой эквивалентных четырехполюсников [1, 2]. Каждый четырехполюсник моделирует одно звено волнообразно изогнутого прямоугольного волновода. На входе цепочки четырехполюсников (слева) подключается генератор входного сигнала \dot{E}_0 с внутренним сопротивлением Z_0 , равным эквивалентному сопротивлению волновода Z_W . Затем следует согласующий четырехполюсник M_0 , описывающий отрезок волновода до первого зазора. После последнего зазора (справа) подключен согласующий M_{n+1} четырехполюсник для согласования волновода с нагрузкой Z_n . Будем считать, что нагрузка с сопротивлением Z_n согласована с волноводом, имеющим эквивалентное сопротивление Z_W на опорной частоте.

Описанная ниже математическая модель сформулирована с учетом того, что в волноводе распространяются волны H_{m0} , и волновод может быть заполнен средой с параметрами $\epsilon\epsilon_0, \mu\mu_0$. Здесь: ϵ, μ – соответственно относительные диэлектрическая и магнитная проницаемости среды; ϵ_0, μ_0 – диэлектрическая и магнитная проницаемости вакуума.

Матрица передачи \dot{A} четырехполюсника, моделирующего отрезок волновода длиной ℓ , записывается с учетом потерь в стенках волновода [1, 2]. Обозначим параметры: $\dot{\Gamma} = \Gamma' - j\Gamma''$ – постоянная распространения волны; $\Gamma' = K\sqrt{1 - \chi_{m0}^2/K^2}$ – продольное волновое число; $K = \omega\sqrt{\epsilon\epsilon_0\mu\mu_0}$; $\chi^2 = \chi_{m0}^2 = m\pi/a^2$ – поперечное волновое число;

$$\Gamma'' = \frac{R_s \left[1 + \frac{2b}{a} \lambda / \lambda_{cr}^2 \right]}{Z_0 \cdot b \sqrt{1 - \lambda / \lambda_{cr}^2}} - \text{коэффициент затухания для волны } H_{m0} \text{ в прямоугольном}$$

волноводе; $\lambda = \lambda_0 / \sqrt{\epsilon\mu}$ – длина волны в среде с параметрами ϵ, μ ; λ_0 – длина волны входного сигнала, f – его частота, λ_{cr} – критическая длина волны в волноводе, для волны H_{m0} $\lambda_{cr} = 2a/m$; a – размер широкой стенки волновода; b – размер узкой стенки волновода;

$$R_s = \sqrt{\frac{\pi f \mu}{g}}, \quad g = 57 \cdot 10^6 \text{ сим/м} \quad - \quad \text{проводимость меди}; \quad Z_0 = 120\pi\sqrt{\mu/\epsilon};$$

$$\lambda_w = \lambda / \sqrt{1 - (\lambda/\lambda_{cr})^2} \quad - \text{длина волны в волноводе.}$$

Для возбуждения цепочки четырехполюсников необходимо знать наведенные (конвекционные) токи J_k . Конвекционный ток сгруппированного электронного потока определим совместным решением уравнений движения электронов и уравнения возбуждения волновода. В работах [1, 2] получено уравнение возбуждения волновода электронными пучками цилиндрической формы, ниже приведем вывод уравнения возбуждения волновода плоскими электронными пучками прямоугольной формы.

Уравнение возбуждения волновода

Уравнение возбуждения волновода записываются в обычной для волноводов прямоугольной системе координат (рис. 1): ось Z направлена вдоль волновода, ось Y – перпендикулярна широкой стенке волновода и совпадает с направлением движения электронов, ось X – перпендикулярна узкой стенке волновода.

Возбужденное поле представим в виде суперпозиции полей свободных волн:

$$\dot{\vec{E}} = \sum_p C_{\pm p} \dot{\vec{E}}_{\pm p}, \quad \dot{\vec{H}} = \sum_p C_{\pm p} \dot{\vec{H}}_{\pm p}. \quad (1)$$

Здесь под индексом p понимаем два индекса, которые определяют тип поля в волноводе. Используя уравнения Максвелла, применяя лемму Лоренца, можно получить уравнение возбуждения волновода. Будем рассматривать возбуждение и распространение в прямоугольном волноводе волны H_{m0} , уравнение возбуждения конвекционным током $\dot{\vec{J}}$ (здесь $\dot{\vec{J}}$ – суммарный ток всех электронных пучков) принимает вид:

$$C_{\pm p} = N_p^{-1} \int_V \dot{\vec{J}} \cdot \dot{\vec{E}}_{\mp p} dV, \quad (2)$$

где знак (+) соответствует волнам, движущимся в положительном направлении оси Z , знак (–) в противоположном направлении;

$$N_p = \int_s [\dot{\vec{E}}_p, \dot{\vec{H}}_{-p}] - [\dot{\vec{E}}_{-p}, \dot{\vec{H}}_p] \cdot \vec{i}_z dS, \quad (3)$$

где N_p – обобщенная норма волны, пропорциональна мощности волны; $\dot{\vec{J}} = N_b \dot{J}_\omega \vec{i}_y$, N_b –

количество электронных пучков; $\dot{J}_\omega = \frac{1}{\pi} \int_0^{2\pi} \dot{J}_m(t, y) e^{-jq\omega t} d\omega t$ – амплитуда гармоники

конвекционного тока одного пучка на частоте $q\omega$; q – номер гармоники; интеграл

$\int_V \dot{\vec{J}} \cdot \dot{\vec{E}}_{\mp p} dV$ пропорционален мощности, отдаваемой модулированным электронным потоком

ЭМ волне на частоте ω и используется при расчете волнового КПД. Поля волны H_{m0} в волноводе представляем в виде (множитель $e^{j\omega t}$ временно опустим):

$$\dot{\vec{E}}_{\pm m0} = -jH_0 \frac{\omega \mu \mu_0 \chi_x}{\chi^2} \sin \frac{m\pi x}{a} \cdot e^{\mp j\Gamma Z} \cdot \vec{i}_y, \quad (4)$$

$$\dot{\vec{H}}_{\pm m0} = \pm jH_0 \cdot \frac{\Gamma \cdot \chi_x}{\chi^2} \sin \frac{m\pi x}{a} \cdot e^{\mp j\Gamma Z} \cdot \vec{i}_x + H_0 \cos \frac{m\pi x}{a} \cdot e^{\mp j\Gamma Z} \cdot \vec{i}_z, \quad (5)$$

где $\chi_x = \frac{m\pi}{a}$; H_0 – амплитудный множитель, равен C_p .

Обобщенную норму волны найдем, подставляя в (3) соответствующие компоненты векторов \vec{E} и \vec{H} из (4, 5):

$$N_p = \frac{\omega \mu_0 \Gamma \cdot a}{\chi_x^2}. \quad (6)$$

Подставляем (6) и компоненту поля \dot{E}_y из (4) в (2):

$$C_{\pm m 0} = -j \cdot \chi_x A \cdot N_b \int_V \dot{J}_\omega \cdot \sin \frac{m\pi x}{a} e^{\pm j\Gamma \cdot Z} dV, \quad (7)$$

где $A = 1 / \Gamma a$.

В уравнении (7) интеграл вычисляется по объему, который занимает электронный пучок, пересекающий волновод в месте расположения пучности электрического поля E_{m0} на широкой стенке ($x_1 = a(2i - 1)/(2m)$, z_1 – координаты центра i -й пучности электрического поля; всего пучностей m , расположенных вдоль широкой стенки волновода по координате x). Обозначим размеры пучка: h – ширина пучка по координате X , r – толщина пучка по координате Y . Размеры трубы дрейфа прямоугольного сечения a' , b' соответственно по координатам X и Y , x_1, z_1 – координаты центра электронного пучка, $x_1 = a/2$. Координата y

меняется от $y_1 = 0$, до $y_2 = b$. Тогда $C_{\pm m 0} = -j \chi_x A \cdot N_b \int_{y_1}^{y_2} \dot{J}_\omega dy \int_{x_1-r}^{x_1+r} \sin \frac{m\pi x}{a} dx \int_{z_1-h/2}^{z_1+h/2} e^{\pm j\Gamma \cdot Z} dZ$.

После интегрирования по координатам X и Z получаем:

$$C_{\pm m 0} = -j \chi_x A \cdot e^{\pm j\Gamma \cdot Z_1} \cdot \frac{4}{\pi} a \sin\left(\frac{m\pi r}{2a}\right) \cdot sh \pm j\Gamma h / 2 N_b \int_{y_1}^{y_2} \dot{J}_\omega dy. \quad (8)$$

В (8) входит \dot{J}_ω – амплитуда первой гармоники плотности конвекционного тока, которая определяется так:

$$\dot{J}_\omega = \frac{1}{\pi} \int_0^{2\pi} \dot{J}_k \cdot e^{-j\omega t} d\omega t. \quad (9)$$

С учетом закона сохранения заряда и предполагая, что плотность тока по сечению пучка одинакова, получим: $\dot{J}_k(y) d\omega t = \dot{J}_k(0) d\omega t_0$, где $\dot{J}_k(y)$ – плотность тока в сечении y ; $\dot{J}_k(0)$ – плотность тока в сечении $y = 0$.

Задачу возбуждения волновода решаем в одномерном приближении, т.е. поперечное движение электронов учитывать не будем. Для моделирования электронного потока используем метод крупных частиц. Электронный поток представляем состоящим из N частиц прямоугольной формы, распределенных при $z = 0$, равномерно на периоде $0 \div 2\pi$. Рассчитываем интеграл (9) численно, используя метод средних, и допуская, что по сечению плотность тока постоянна – $I_1 = J_k(0)hr$, получим:

$$\dot{J}_\omega = \frac{2I_1}{N_e} \sum_{i=1}^{N_e} e^{-j\omega t_i}. \quad (10)$$

В данной модели волновод возбуждается поперечным током \dot{J}_ω , занимающим небольшой объем V (тонкий пучок), коэффициенты $C_{\pm m 0}$ вне этого объема от координаты z не зависят, постоянны. Обозначим амплитуду возбужденного поля: $\vec{E} = -j C_{\pm m 0} \omega \mu_0 \chi_x / \chi^2$.

Подставляя (10) в (8), запишем \vec{E} в виде:

$$\bar{E} = B \cdot e^{\pm j\Gamma Z_1} \cdot \frac{4a}{\pi\Gamma'hr} sh(\pm j\Gamma'h/2) \sin\left(\frac{m\pi r}{2a}\right) \frac{I_1}{N_e} \int_{y_1}^{y_2} \sum_{i=1}^{N_e} e^{-j\omega t_i} \varepsilon^0(y) dy, \quad (11)$$

где $B = \omega\mu_0 A$; $\varepsilon^0(y)$ – весовая функция пространственного распределения поля зазора в волноводе учитывает провисание электрического поля внутри трубки дрейфа, рассчитывается методом сеток.

Учитывая, что электроны движутся перпендикулярно широкой стенке волновода вдоль координаты y , интеграл в (11) вычисляем численно, совместно с интегрированием уравнений движения электронов.

После интегрирования уравнение возбуждения (11) поле $\dot{\bar{E}}_y$ ЭМ волны H_{m0} в волноводе запишется в следующем виде:

$$\dot{\bar{E}}_{y\pm m0} = \bar{E} \cdot \sin\frac{m\pi x}{a} e^{\mp j\Gamma Z} \cdot e^{j\omega t} \bar{v}_y. \quad (12)$$

Для расчета возбуждения четырехполосников (эквивалентных звеньям изогнутого волновода) электронным потоком потребуются знание наведенного тока и напряжения в заданном сечении волновода ($x = x_1, z = z_k$). Как отмечалось ранее, электронный пучок проходит через отверстия в волноводе в центре пучностей электрического поля (рис. 1). Взаимодействие электронного пучка происходит с поперечной компонентой $\dot{\bar{E}}_Y$ волны H_{m0} . В качестве длины d зазора будем считать размер узкой стенки волновода.

Используя (12), введем напряжение $\dot{\bar{U}}_k$ на k -ом зазоре:

$$\dot{\bar{U}}_k = \bar{E} \cdot \sin\frac{m\pi x_1}{a} \cdot e^{\mp j\Gamma Z_k + j\omega t} \cdot d. \quad (13)$$

Следует отметить, что задача возбуждения четырехполосников, сформулированная выше, решается для волны в волноводе H_{m0} в одномодовом приближении. Наведенный ток в k -м зазоре с учетом безразмерных параметров вычисляется так:

$$\dot{J}_k^* = \frac{2I_0 U_0}{\dot{\bar{U}}_k} \frac{\gamma_0 + 1}{\gamma_0^2} \frac{\vartheta_0}{N_e} \sum_{i=1}^{N_e} \int_{T_{0k}}^{T_{1k}} \varepsilon^0(T - T_{0k}) \cdot e^{j(u_i + \vartheta_0 T + \vartheta_k)} dT, \quad (14)$$

где $T = y/L$; $\vartheta = \omega t$; $\gamma_0 = \left(1 - \left(\frac{v_0}{c}\right)^2\right)^{-1/2}$;

$$V_i = \frac{v_i}{v_0}, \quad u_i = \omega t_i - \omega y/v_0, \quad \vartheta_0 = \frac{L\omega}{v_0}, \quad \gamma_i = \left(1 - \left(\frac{v_i}{c}\right)^2\right)^{-1/2}; \quad \vartheta_k = \Gamma \ell_k,$$

где y – продольная координата электрона, L – длина ЛБВ, ℓ_k – длина отрезка волновода; $d = y_2 - y_1$ – длина зазора, ω – опорная частота, ξ_k – относительное напряжение на зазоре, полученное с учетом прямых и обратных волн, возбуждаемых электронным потоком в других зазорах, и рассчитывается по специальным алгоритмам, приведенным в [1, 2].

Уравнения движения в нормированных переменных, алгоритм возбуждения цепочки четырехполосников аналогичен описанному в [1, 2]. Для расчета полей пространственного заряда плоских электронных пучков использовались формулы, полученные в работе [3].

Результаты расчетов ЛБВ

Рассчитан вариант регулярной ЛБВ (вариант А1) для работы на длине волны $\lambda_0 = 0,05356$ см ($f_0 = 559,73$ ГГц). В работе [1] приведены некоторые параметры электронного пучка цилиндрической формы и размеров волновода прибора терагерцового диапазона, которые будем учитывать при расчетах. Ускоряющее напряжение $U_0 = 9,1$ кВ, ток электронного пучка $I_0 = 0,01$ А, число пучков $N_b = 1$. Размеры волновода $a = 0,0293$ см,

$b = 0,0036$ см, эквивалентное сопротивление волновода $Z_w = 228,3$ Ом. Размер сечения трубки дрейфа $a' \times b' = 0,01 \times 0,001$ см, размер сечения электронного пучка $h \times r = 0,008 \times 0,0008$ см, длина зазора $d = b$. В этом варианте прибора для взаимодействия с электронным пучком используется волна H_{10} . Волновод изготовлен из меди с проводимостью $\sigma = 57 \cdot 10^6$ сим/м. Постоянная распространения волны H_{10} $\Gamma = 0,05145 + j47,5966$. Коэффициент фазы эквивалентного четырехполюсника $K_\varphi = 2,496$ радиан. Число зазоров, равное числу изогнутых секций волновода $N = 80$. В результате оптимизации параметров ЛБВ получен коэффициент усиления по мощности $K_p = 10 \lg P_{out} / P_{in} = 13,8$ дБ, электронный КПД $\eta_e = 0,0089$, выходная мощность ЛБВ $P_{out} = 0,457$ Вт, входная мощность $P_{in} = 0,0227$ Вт.

Отметим, что в работе [1] для варианта ЛБВ с цилиндрическими электронными пучками с таким же ускоряющим напряжением и током пучка $0,0023$ А был получен КПД $0,00242$ и выходная мощность $0,05$ Вт только лишь при использовании материала с повышенной проводимостью $\sigma = 4000 \cdot 10^6$. При меньших значениях проводимости возбуждения замедляющей системы электронным пучком не наблюдалось, почти вся энергия волны рассеивалась в стенках волновода в виде тепла.

Для проверки эффективности прибора на волне H_{m0} (выбираем волну H_{40} и четырехпучковую конструкцию – $N_b = 4$, рис. 1), за основу конструкции принимаем оптимальные параметры варианта А1. Чтобы длина волны в волноводе и его параметры (эквивалентное сопротивление, постоянная распространения) не изменились, критическая длина волны H_{40} должна остаться прежней, поэтому пересчитываем размер волновода a : $a' = a \cdot m$. Размеры волновода для четырехпучковой конструкции с волной H_{40} : $a = 0,1172$ см, $b = 0,0036$ см. Постоянная распространения волны H_{40} : $\Gamma = 0,037 + j47,5966$. Отметим, что для этой волны коэффициент затухания ($0,037$) меньше, чем для волны H_{10} ($0,05145$).

Расчет четырехпучковой конструкции ЛБВ (вариант А2, суммарный ток четырех пучков $I_0 = 0,04$ А) на волне H_{40} дает следующие результаты: коэффициент усиления по мощности $K_p = 31$ дБ, электронный КПД $\eta_e = 0,049$, выходная мощность ЛБВ $P_{out} = 11,7$ Вт, входная мощность $P_{in} = 0,0091$ Вт. Значительный рост коэффициента усиления и выходной мощности объясняется тем, что полный ток электронного потока увеличен в 4 раза. Соответственно увеличились и наведенные токи в зазорах волновода. Это приводит к увеличению напряжений на зазорах волновода и возрастанию модуляции электронного потока по скорости и плотности. Эффективность прибора значительно возросла – увеличились коэффициент усиления и выходная мощность.

Заключение

Предложены новые конструкции многопучковых усилителей и генераторов с ленточными электронными пучками на волнообразно изогнутых прямоугольных волноводах с применением ЭМ волн типа H_{m0} . Приведенные расчеты показали, что применение многопучковых конструкций позволяет значительно увеличить выходную мощность усилителей и генераторов. В многопучковой конструкции уменьшаются силы пространственного заряда, что приводит к формированию более плотных сгустков. Увеличение наведенных токов в зазорах волноводов многопучковых конструкций приводит к увеличению напряжений на зазорах волновода и возрастанию модуляции электронного потока по скорости и плотности. В результате увеличиваются коэффициент усиления и выходная мощность приборов.

Получены оптимальные параметры многопучковых усилителей (ЛБВ) с ленточными электронными пучками, которые имеют коэффициент усиления – 13 – 30 дБ, выходную мощность $0,2$ – 11 Вт в субмиллиметровом диапазоне длин волн.

MULTIBEAMS TWT OF O-TYPE OF SUBMILLIMETRIC WAVE BANDS

A.V. AKSENCHYK

Abstract

The mathematical model multibeam TWT with sheet electronic beams on wavy bent rectangular waveguide with use of waves H_{m0} is formulated. Features of designs and interaction of electronic beams with waves H_{m0} are noted. Results of calculations multibeams TWT are resulted, is shown, that fourbeam TWT has calculation output power 11 W, gain 31 dB on frequency 559 GHz.

Список литературы

1. Аксенчик А.В., Киринович И.Ф., Кураев А.А. // Весті НАН Беларусі. Сер. фіз.-тэхн. навук. 2011. № 1. С. 97–106.
2. Аксенчик А.В., Кураев А.А. Киринович И.Ф. // Весті НАН Беларусі. Сер. фіз.-тэхн. навук. 2009. № 3. С. 113–124.
3. Аксенчик А.В., Киринович И.Ф. // Весті НАН Беларусі. Сер. фіз.-тэхн. навук. 2011. № 2. С. 97–107.